大腸癌における c-erbB-2蛋白発現の臨床的意義

神戸労災病院外科

島田 悦司 裏川 公章 植松 清

切除大腸癌75例(結腸癌48例, 直腸癌27例)の新鮮凍結標本を対象として, c-erbB-2蛋白発現を免疫 組織学的に検索し, 臨床病理学的諸因子との関連性を検討した。

75例中48例で癌細胞の細胞膜に一致して c-erbB-2蛋白陽性所見がえられた。陽性程度を強陽性22例,弱陽性26例,陰性27例に分類し検討したところ,腫瘍占居部位,肉眼型,腫瘍径,組織型などとの関連はなく,また壁深達度との関連もみられなかった。しかしリンパ節転移,肝・肺転移ならびにDukes の stage 分類とは有意な関連がみられた。また陰性群と強陽性群の比較では,強陽性群で ly2, v2以上の脈管侵襲高度例が多かった。これらの結果より c-erbB-2蛋白が大腸癌の遠隔転移機序に関与している可能性とともに,大腸癌における c-erbB-2蛋白の陽性程度が生物学的悪性度の指標としての意義を有することが示唆された

Key word: c-erbB-2 protein of colorectal cancer

I. はじめに

種々のヒト癌細胞において c-erbB-2遺伝子の増幅 や c-erbB-2蛋白発現がみいだされており^{1)~4)}, その臨床的意義づけについては特に乳癌^{5)~7)}や胃癌^{8)~11)}で多くの報告がみられ, 従来の組織型, 壁深達度, リンパ節転移などの形態学的因子とともに重要な予後規定因子となりうる可能性が示されている.

しかし乳癌や胃癌などと比較して大腸癌における c-erbB-2遺伝子や蛋白発現に関する報告は少な く12)~19). その臨床的意義は明らかでない

今回われわれは大腸癌における c-erbB-2蛋白陽性 所見を染色程度で分類し、臨床病理学的諸因子との関 連性を検討することによりその臨床的意義づけを試み た。

II. 対象と方法

1991年4月より1992年12月の間に,神戸労災病院外科にて切除された大腸癌のうちの75例(結腸癌48例,直腸癌27例)を対象とした.

切除後ただちに癌病巣より組織を採取し、ornithine carbomyl transferase compound に包埋し、-80℃で凍結保存した。この新鮮凍結標本をクリオスタットにて 4μ に薄切後風乾し、冷アセトンにて5分間固定した。

<1993年5月11日受理>別刷請求先:島田 悦司 〒651 神戸市中央区籠池通4丁目1-23 神戸労災 病院外科 Phosphate buffered saline (PBS) で洗浄し, 10% 正常ブタ血清と20分間反応させた.

1 次抗体として抗 c-erbB-2蛋白モノクロナール抗体 (mAb1, Triton Bio Science Inc) を用い37℃で1時間反応させた。PBS で洗浄し、peroxydase 標識抗マウス IgG 抗体(Tago Inc)を37℃で1時間反応させた。

PBS で 洗 浄 し, 3-3'-diaminobenzidinetetrahydrochloride (DAB) 溶液と5 分間反応させ発色させた。流水で洗浄し、メチルグリーンで核染色を行った後、脱水し封入、鏡検した。

陰性対照には1次抗体にかえて PBS を用いた。

臨床病理学的項目は大腸癌取扱い規約²⁰に従ったが、臨床病期分類については、Dukes の stage 分類において、遠隔転移を有する症例を Dukes D とする修正 Dukes 分類²¹により検討した。

また統計学的検定は χ^2 検定(度数 5 未満は Fisher の直接確率計算)および 1 元配置分散分析を用い,危 険率 5 %未満を有意とした。

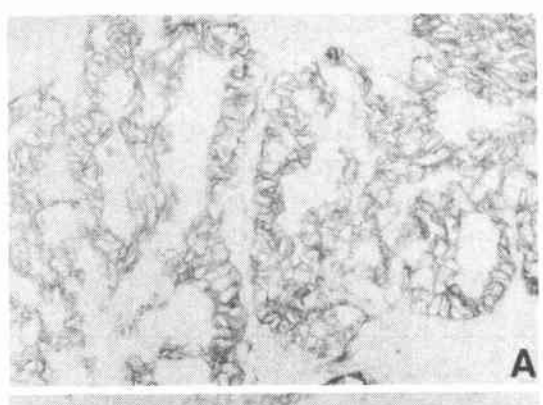
III. 成 續

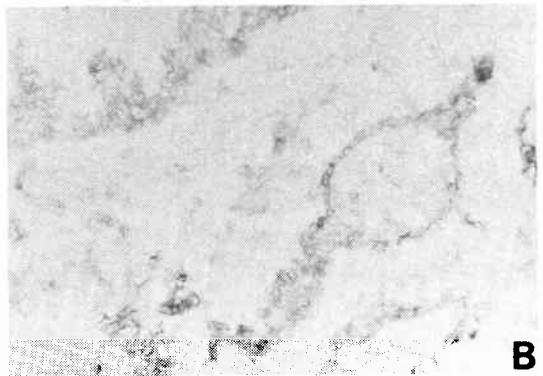
c-erbB-2蛋白陽性所見は癌細胞の細胞膜にみとめられたが、組織標本内のほとんどの癌細胞で細胞膜が明瞭に染色されるものや、標本内で部分的に癌細胞の細胞膜および細胞質が弱く染色されるものがみられた。

Tsuda ら⁸⁾の c-erbB-2蛋白陽性度判定基準にしたがい、これら c-erbB-2蛋白陽性例を強陽性、弱陽性の2段階に分類した。すなわち標本内のほとんどの癌細胞

Fig. 1 Immunostaining of c-erbB-2 protein in human colorectal cancer.

A. Strongly positive case (++). Plasma membranes of all tumor cells are distinctly stained. \times 100, B. Weakly positive case (+). Plasma membrance and cytoplasm are weakly and partially stained \times 100





細胞膜に明瞭な陽性所見がみられる症例を強陽性 (++), また細胞膜の染色性が弱く, 標本内の癌細胞で部分的に陽性所見がみられる症例を弱陽性(+)とし, それ以外を陰性(-)とした(Fig. 1A, B).

75例中 c-erbB-2蛋白強陽性22例(29.3%), 弱陽性26例(34.7%), 陰性27例(36.0%)であった(**Table 1**). c-erbB-2蛋白強陽性3例, 弱陽性2例, 陰性1例についてはSouthern 法により c-erbB-2遺伝子増幅の有無を検索したが全例遺伝子の増幅はみられなかった.

1) 肉眼的所見

腫瘍占居部位を右側結腸(盲腸,上行結腸,横行結腸右半),左側結腸(横行結腸左半,下行結腸,S状結腸),直腸に分類し検討したがc-erbB-2蛋白陽性度との関連はなかった(Table 1).

また肉眼型ではほとんどが2型であり、関連がな

Table 1 Correlation between c-erbB-2 protein staining and location

Location	Staining of c-erbB-2 protein			Total
	(-)	(+)	(++)	
Right colon	5	7	4	16
Left colon	12	10	10	32
Rectum	10	9	8	27
Total	27 (36.0)	26 (34.7)	22 (29.3)	75 (100)

():%

Table 2 Correlation between c-erbB-2 staining and gross type

Gross type	Staining of c-erbB-2 protein			Total
	(-)	(+)	(#)	
0	2	1	0	3
1	3	3	0	6
2	22	21	21	64
3	0	1	1	2

Table 3 Correlation between c-erbB-2 protein staining and size of tumor

Size(cm)	Staining of c-erbB-2 protein			Total
0.20 (0)	(-)	(+)	(#)	
size<4	7	8	6	21
4≤size<6	13	12	9	34
size≥6	7	6	7	20
Mean±SD	5.6±2.1	5.7±2.5	5.7±2.3	

かった (Table 2).

腫瘍径も c-erbB-2蛋白陰性5.6cm, 弱陽性, 強陽性 5.7cm と差がなく, 関連はみられなかった(**Table 3**).

2) 組織学的所見

組織型は高分化型が多数を占めたため、c-erbB-2蛋白陽性度との間には関連がなかった(Table 4).

壁深達度について、 $m\sim ss(al)$ での c-erbB-2蛋白強陽性率7/31(22.6%)に対し、s(a2)以上では15/44(34.1%)と高率であったが有意差はなかった(Table 5).

組織学的リンパ節転移と c-erbB-2蛋白の陽性程度 との間には有意な関連がみられ、n(-)での c-erbB-2蛋白強陽性率6/39(15.4%)に対し、 $n_1 \sim n_3$ では16/36(44.4%)と転移陽性例で高率であった(**Table 6**).

Table 4 Correlation between c-erbB-2 protein staining and histological type

Histological type	Staining of c-erbB-2 protein			Total
	(-)	(+)	(#)	rotai
Well	20	23	18	61
Moderately	5	2	3	10
Poorly	1	1	0	2
Signet	1	0	0	1
Mucinous	0	0	1	1

well: well differentiated adenocarcinoma moderately: moderately differentiated adenocarcinoma poorly: poorly differentiated adenocarcinoma signet: signet ring cell carcinoma mucinous: mucinous carcinoma

Table 5 Correlation between c-erbB-2 protein staining and depth of invasion

Depth of invasion	Staining of c-erbB-2 protein			Total
	(-)	(+)	(#)	10001
m, sm, pm	4	5	1	10
ss (a1)	7	8	6	21
s (a2)	10	9	11	30
si (ai)	6	4	4	14

m: mucosa sm: submucosa pm: muscularis propria Serosa present

ss: subserosa s: serosa si: invades through serosa into a contiguous organ

No serosa

al: invades through muscularis propria a2: invades into adventitia without invasion to other organs ai: invades other organs

Table 6 Correlation between c-erbB-2 protein staining and lymph node metastasis

Lymph node metastasis	Staining of c-erbB-2 protein			Total
	(-)	(+)	(#)	
n (-)	15	18	6	39
nl (+)	3	6	9	18
n2 (+)	8	1	3	13
n3 (+)	1	1	4	6

p = 0.0056

リンパ管侵襲は c-erbB-2蛋白陰性例に比較して c-erbB-2蛋白強陽性例で ly2以上が有意に多く, また静脈侵襲も c-erbB-2蛋白陰性例に比較して c-erbB-2蛋

Table 7 Correlation between c-erbB-2 protein staining and lymphatic or vascular invasion

		protein	ī
(-)	(+)	(#)	Total
6 712	4 7,1	1 – ,	11
6 — 12	7 — 11	3 - 4	16
10 —	10 —	14 —,,,	34
5 — 13	5 — 15	4 — 18	14
	6 J12	$ \begin{array}{c cccc} 6 & 12 & 4 & 11 \\ 6 & 7 & 10 & 7 \end{array} $	$ \begin{array}{c ccccccccccccccccccccccccccccccccccc$

Vascular	Staining	<i>7</i> 0 . 1		
invasion	(-)	(+)	(#)	Total
v0	9 715	7 713	2 – ,	18
v1	6 — 13	6 — 13	3 - 1	15
v2	7 — 12	10 713	13 — 17	30
v3	5 — 12	3 —13	4 — 11	12
		p=0.02		

Table 8 Correlation between c-erbB-2 protein staining and peritoneal dissemination, liver metastasis and lung metastasis

Peritoneal dissemination	Staining of c-erbB-2 protein			Total
	(-)	(+)	(#)	1 0000
none	26	22	21	69
present	1	4	1	6

Liver or lung metastasis	Staining of c-erbB-2 protein			Total
	(-)	(+)	(#)	
none	27	22	16	65
present	0	4	6(2)	10

(): lung metastasis p=0.0188

Table 9 Correlation between c-erbB-2 protein staining and Dukes' stage

Dukes' stage	Staining of c-erbB-2 protein			Total
	(-)	(+)	(#)	
Α	4	4	0	8
В	11	12	5	28
С	11	3	10	24
D	1	7	7	15

p = 0.0125

白強陽性例では v2以上が有意に多かった(Table 7).

3) 腹膜転移, 肝転移および臨床病期

腹膜転移と c-erbB-2蛋白陽性程度との関連はみられなかったが、肝転移、肺転移については有意な関連がみられ、c-erbB-2蛋白陰性例には肝転移・肺転移例はなかったが、c-erbB-2蛋白強陽性例では6/22と転移例が多かった(Table 8)。

Dukes stage 分類と c-erbB-2蛋白陽性度との間でも有意の関連がみとめられ、c-erbB-2蛋白強陽性群で C 以上の症例が多くみられた(**Table 9**)。

IV. 考察

大腸癌における c-erbB-2遺伝子の増幅は、Tal らいによれば2/45 (4.4%)、D'Emilia ら 12 によれば3/44 (6.8%) 程度であるが、c-erbB-2蛋白の発現は $11\sim56\%^{12}\sim19$ と報告されており遺伝子増幅と蛋白発現類度に差がみられる。乳癌では c-erbB-2遺伝子の増幅と c-erbB-2蛋白発現の関連について、Slamon ら 5 り、Venter ら 6 により詳細な検討がなされ、遺伝子増幅程度と蛋白発現程度とは相関することが示されている。しかし遺伝子増幅をともなわない蛋白の過剰発現も存在することから、m-RNA レベルでの異常が関与している場合も少なくないことが指摘されている 5 1221.

われわれも c-erbB-2蛋白強陽性 3 例,弱陽性 2 例, 陰性 1 例の計 6 例について Southern 法により cerbB-2遺伝子の増幅の有無を検索したが全例増幅が みられなかった。大腸癌での c-erbB-2遺伝子増幅の頻 度が低率であることから,大腸癌における c-erbB-2蛋 白の発現は m-RNA レベルでの異常による場合が多 い可能性があると考えられた。

大腸癌における c-erbB-2蛋白の発現についてはホルマリン固定パラフィン標本による 報告 が多く12)~14)18)19), われわれのように新鮮凍結標本を用いた報告は少ない3015)~17). Slamon ら5)は乳癌を対象として c-erbB-2蛋白の抗原性の変化を両者で検討し、ホルマリン固定やパラフィン包埋により、c-erbB-2蛋白の陽性程度が非常に強い症例(遺伝子増幅が 5~20倍)では抗原性が保たれていたが、陽性程度が moderate(遺伝子増幅が 2~5倍程度)の症例では抗原性が失活することを指摘しており新鮮凍結標本でない場合、結果の解釈に注意が必要と思われる.

われわれはホルマリン固定パラフィン包埋標本との比較検討は行っていないが、c-erbB-2蛋白の発現を全体の65%の症例にみとめた。その染色程度はさまざまであったが、陽性例は中江ら¹⁷⁾の報告と同様に癌細胞細胞膜に免疫活性をみとめる症例のみとし、今回はさらに Tsuda ら⁸⁾の染色程度判定基準により陽性例を

強陽性, 弱陽性の2群に分類し検討を行った。

その結果、c-erbB-2蛋白の陽性度と臨床病理学的諸 因子との関連では、占居部位、肉眼型、腫瘍径、組織 型や壁深達度などとは有意な関連はみられなかった が、リンパ節転移、肝・肺動移や Dukes の臨床病期と の有意な関連がみられた。

リンパ節転移に関しては、乳癌では c-erbB-2蛋白発 現との関連が報告されておりが、大腸癌でも強陽性例 では同様の傾向がみられた。

脈管侵襲については Kultfinger ら16)によると、c-erbB-2蛋白陽性例で侵襲頻度は高いものの有意差は みられていない。自験例では、c-erbB-2蛋白陰性例と強 陽性例とを比較した場合、脈管侵襲高度例の頻度は強 陽性例で高率であった。

また大森ら18), 山口ら19)は c-erbB-2蛋白と同時性肝転移とが関連することを報告しているが、自験例でもc-erbB-2蛋白と肝・肺転移との密接な関連が示唆された。さらに乳癌において Potter ら²³⁾は c-erbB-2蛋白の発現と術後の血行性転移再発との関連を指摘しており、大森ら18)も大腸癌異時性肝転移との関連がみられたことを報告している。この点について自験例では術後観察期間が最長でも1年10か月にすぎないため、十分な検討ができなかったが今後検討したいと考えている。

一方腫瘍径,組織型や壁深達度との関連はみられず 胃癌での報告^{9)~11)}とのちがいがみられた。

組織型について、胃癌では分化型腺癌で蛋白発現が 高率とされている⁹⁾¹¹⁾. 大腸癌でも Cohen¹³⁾らが分化 度との関連を示唆しているが、自験例のほとんどが高 分化型であったため差がみられなかった。

壁深達度については胃癌では pm 以上の進行癌で高率とされる10111. 大腸では腺腫での c-erbB-2蛋白の発現が報告されており12131, 胃癌とことなり発癌の過程での関与も示唆されている. したがって癌の比較的早期から c-erbB-2蛋白が発現している可能性が考えられるが,自験例では対象が切除例に限られているため, m, sm 症例が少なく, こうした点は明らかにしえなかった. しかし c-erbB-2蛋白の陽性率が壁深達度と関連がなかったことより, 大腸癌の局所進展と c-erbB-2蛋白との関連は少ないものと思われた.

以上のことから、大腸癌における c-erbB-2蛋白の陽性程度はリンパ節転移、肝・肺転移などと関連しており、強陽性例では大腸癌の遠隔転移機序への c-erbB-2蛋白の関与が示唆された。また臨床病期ともよく相関

しており、大腸癌の生物学的悪性度を反映する1因子 と考えられた。

今後, c-erbB-2蛋白弱陽性例の臨床的意義づけや, 陽性程度と各種腫瘍マーカーおよび予後との関連などについても検討して行きたいと考えている。

文 献

- 1) 山本 雅:腺癌の発症・進展と c-erbB-2 遺伝子の 増幅, 実験医 8:681-686, 1990
- Yokota J, Toyoshima K, Yamamoto T et al: Amplification of c-erbB-2 oncogene in human adenocarcinoma in vivo. Lancet 2: 765-766, 1986
- 3) Natali PG, Nicolta MR, Bigotti A et al: Expression of the p185 encoded by HER2 oncogene in normal and transformed human tissues. Int J Cancer 45: 457-461, 1990
- 4) Tal M, Wetzler M, Josephberg Z et al: Sporadic amplification of the HER2/neu protoon-cogene in adenocarcinomas of various tissues. Cancer Res 48: 1517—1520, 1988
- 5) Slamon DJ, Godolphin WJ, Jones LA et al: Studies of the HRER-2/neu protooncogene in human breast and ovarian cancer. Science 244: 707-712, 1989
- 6) Venter DJ, Tuzi NL, Kumar S et al: Over expression of the c-erbB-2 oncoprotein in human breast carcinomas: Immunohistological assessment correlates with gene amplification. Lancet 2:69-72, 1987
- 7) Wright C, Angus B, Nicholson JR et al: Expression of c-erbB-2 oncoprotein: a prognostic indicator in human breast cancer. Cancer Res 49: 2087—2090, 1989
- 8) Tsuda H, Hirohashi S, Shimosato Y et al: Immunohistochemical study on overexpression of c-erbB-2 protein in human breast cancer: Its correlation with gene amplification and longterm survival of patients. Jpn J Cancer Res 81: 327-332, 1990
- Falck VG, Gullick WJ: c-erbB-2 oncogene product staining in gastric adenocarcinoma. An immunohistochemical study. J Pathol 159: 107-111, 1989
- 10) Yonemura Y, Ninomiya I, Yamaguchi A et al: Evaluation of immunoreactivity for erbB-2 protein as a marker of poor short term prognosis in gastric cancer. Cancer Res 51: 1034-1038, 1991

- 11) 島田悦司,加藤道男,斉藤洋一:胃癌における c-erbB-2 蛋白発現についての免疫組織化学的研究。 日外会誌 94:33-40,1993
- 12) D'Emilia J, Bulovas K, D'Ercole K et al: Expression of the c-erbB-2 gene product (p185) at different stage of neoplastic progression in the colon. Oncogene 4: 1233—1239, 1989
- 13) Cohen JA, Weiner DB, More KF et al: Expression pattern of the neu (NGL) gene-encoded growth factor receptor protein (p185^{neu}) in normal and transformed epithelial tissue of the digestive tract. Oncogene 4:81—88, 1989
- 14) 井藤久雄, 安井 弥, Ayhan Ayse ほか:ヒト消化 管粘膜・腺腫・腺癌における ERBB2 遺伝子の発 現. 消化器癌 1:79—85, 1991
- 15) Tsioulias GJ, Muto T, Morioka Y et al: erbB-2 gene expression in colorectal cancer. Jpn J Exp Med 60: 343-349, 1990
- 16) Kultfinger AM, Robinson BW, Quenville RJ et al: Correlation of epidermal growth factor receptor and c-erbB-2 oncogene product to known prognostic indicators of colorectal cancer. Surg Oncology 1:97—105, 1992
- 17) 中江史朗, 裏川公章, 植松 清: 大腸癌における c-erbB-2蛋白発現と臨床評価。日消外会誌 25: 2755-2759, 1992
- 18) 大森一義, 内野純一, 近藤征文ほか: 大腸癌における肝転移再発の予知一原発巣の病理組織学的所見, c-erbB-2 蛋白および腫瘍核 DNA 量からの検討、日消外会誌 24:2963—2969, 1991
- 19) 山口茂樹, 大木繁男, 城 俊明ほか: 大腸癌における c-erbB-2 蛋白発現および脈管侵襲について. 癌と化療 19:34-39, 1992
- 20) 大腸癌研究会編: 臨床・病理. 大腸癌取扱い規約. 改訂第4版、金原出版,東京,1985
- 21) Cohen AM, Shank B, Friedman MA: Colorectal cancer. Edited by Devita VT, Hellman S, Rosenberg SA. Cancer-principle & practice of oncology. third edition. Lippincot, Philadelphia, 1989, p895—964
- 22) Parkes HC, Lillycrop K, Howell A et al: C-erbB-2 mRNA expression in human breast tumors: comparison with c-erbB-2 DNA amplification and correlation with prognosis. Br J Cancer 61: 39-45, 1990
- 23) Potter CR, Beghin C Makar AP et al: The neu-oncogene protein as a predictive factor for hematogenous metastasis in breast cancer patients. Int J Cancer 45: 55-58, 1990

Clinical Significance of the Expression of c-erbB-2 Protein in Colorectal cancer

Etsuji Shimada, Tomoaki Urakawa and Kiyoshi Uematsu Department of Surgery, Kobe Rosai Hospital

The expression of c-erbB-2 protein was examined immunohistochemically in a total of 75 freshly frozen specimens of colorectal cancer, and correlations between its expression and clinicopathological variables were analyzed. Seventy-five cases were scored by assessing the intensity of staining (strongly positive, weakely positive and negative). The incidence of strongly positive staining of c-erbB-2 protein among the 75 cases was 29.3%, and strongly positive staining was significantly correlated with lymph node metastasis, lymphatic or vascular invasion, liver or lung metastasis and Dukes' stage. These results suggest that the expression of c-erbB-2 protein may serve as a useful biological marker in colorectal cancer.

Reprint requests: Etsuji Shimada Department of Surgery, Kobe Rosai Hospital 4-1-23 Kagoikedori, Chuoku, Kobe, 651 JAPAN